



250488



## รายงานการวิจัยสนับสนุนบูรณา

ระบบคุ้กเข็มของอัจฉริยะ

Intelligent Cabinet System

นายชูวงศ์ พงษ์เจริญพาณิชย์

นายศุภกิต แก้วดวงตา

ได้รับทุนสนับสนุนงานวิจัยจากเงินงบประมาณรายได้ ประจำปีงบประมาณ 2554

คณะวิศวกรรมศาสตร์

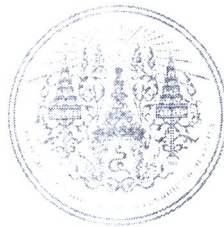
สถาบันเทคโนโลยีพระจอมเกล้าเจ้าคุณทหารลาดกระบัง

b00256376

ห้องสมุดงานวิจัย สำนักงานคณะกรรมการวิจัยแห่งชาติ



250488



## รายงานการวิจัยฉบับสมบูรณ์

ระบบตู้เก็บของอัจฉริยะ

Intelligent Cabinet System



นายชูวงศ์ พงศ์เจริญพาณิชย์

นายศุภกิต แก้วดวงตา

ได้รับทุนสนับสนุนงานวิจัยจากเงินงบประมาณรายได้ ประจำปีงบประมาณ 2554

คณะกรรมการศาสตร์

สถาบันเทคโนโลยีพระจอมเกล้าเจ้าคุณทหารลาดกระบัง

ชื่อโครงการ (ภาษาไทย)//ระบบตู้เก็บของอัจฉริยะ

แหล่งเงิน// (ระบุแหล่งทุน) แหล่งเงินรายได้

ประจำปีงบประมาณ 2554 จำนวนเงินที่ได้รับการสนับสนุน 64,000 บาท

ระยะเวลาทำการวิจัย 1 ปี ตั้งแต่ ตุลาคม 2553 ถึง กันยายน 2554

ชื่อ-สกุล หัวหน้าโครงการ และผู้ร่วมโครงการวิจัย พร้อมระบุ หน่วยงานต้นสังกัด

นายชูวงศ์ พงศ์เจริญพาณิชย์

นายศุภกิต แก้วดวงตา

### บทคัดย่อ

**250488**

โครงการวิจัยนำเสนอระบบตู้อัจฉริยะสำหรับตรวจสอบวัสดุ โดยไม่ต้องสัมผัส ตู้เก็บของอัจฉริยะนี้ใช้หลักการของระบบระบุลักษณะทางคลื่นวิทยุความถี่สูงเท่ากับ 13.56 MHz โดยอาศัยหลักการเหนี่ยวนำแม่เหล็กไฟฟ้า โครงสร้างของระบบประกอบด้วยเครื่องอ่านข้อมูลสายอากาศที่ติดกับตู้เก็บของและแท็กที่ใช้สำหรับติดกับวัสดุภายในตู้ ซึ่งผลการทดสอบกับการคำนวณสอดคล้องกัน และยืนยันว่าระบบระบุลักษณะทางคลื่นวิทยุสำหรับตู้เก็บของอัจฉริยะสามารถใช้งานได้จริง

**Research Title:** Intelligent Cabinet System.....

**Researcher:** Mr. Chuwong Phongcharoenpanich and Mr. Supakit Kawdungta.....

**Faculty:** Engineering ..... **Department:** Telecommunication Engineering.....

---

---

## **ABSTRACT**

**250488**

This research presents the intelligent cabinet system for detecting the object with contactless technology. This intelligent cabinet system is utilized the Radio Frequency Identification (RFID) Technology with the high frequency (HF) at 13.56 MHz. The principle of inductive coupling is applied. The cabinet system consists of the reader that is located on the cabinet and the tag embedded at the identifying object. The measurement and calculation results are in good agreement. This can confirm that this RFID system for intelligent cabinet system can used in practical applications.

### กิตติกรรมประกาศ

โครงการวิจัยนี้ได้รับการสนับสนุนจากบุนเดิมวิจัยประมาณเงินรายได้ คณะวิศวกรรมศาสตร์ สถาบันเทคโนโลยีพระจอมเกล้าเจ้าคุณทหารลาดกระบัง

ขอขอบคุณ คุณบัญชา เหลือแตง สำหรับความช่วยเหลือในการออกแบบสายอากาศสำหรับระบบตู้เก็บของของขั้นริยะ

นายชูวงศ์ พงษ์เจริญพาณิชย์  
นายศุภกิต แก้วดวงตา

## สารบัญ

	หน้า
บทคัดย่อภาษาไทย	I
บทคัดย่อภาษาอังกฤษ	II
กิตติกรรมประกาศ	III
สารบัญ	IV
สารบัญตาราง	VIII
สารบัญภาพ	IX
<b>บทที่ 1 บทนำ</b>	<b>1</b>
1.1 ความเป็นมาของงานวิจัย	1
1.2 ความสำคัญของงานวิจัย	5
1.3 วัตถุประสงค์และขอบเขตวิทยานิพนธ์	6
1.4 เนื้อหาของรายงาน	6
<b>บทที่ 2 ทฤษฎีและหลักการของระบบระบุลักษณะ</b>	<b>8</b>
2.1 บทนำ	8
2.2 ระบบระบุลักษณะทางคลื่นวิทยุ	8
2.2.1 แท็ก	9
2.2.2 ประเภทของแท็กในระบุลักษณะทางคลื่นวิทยุ	10
2.2.3 เครื่องอ่านข้อมูล (Reader)	14
2.3 คุณลักษณะของอุปกรณ์ระบบระบุลักษณะทางคลื่นวิทยุ	15
2.3.1 ลักษณะการทำงาน (Operation Type)	15
2.3.2 ขนาดข้อมูล (Data Quantity)	16
2.3.3 ความสามารถในการโปรแกรม (Programmable)	16
2.3.4 แหล่งพลังงาน (Power Supply)	17
2.3.5 ย่านความถี่ใช้งาน (Frequency Range)	17
2.4 ข้อพิจารณาการเลือกใช้อุปกรณ์ในระบบระบุลักษณะทางคลื่นวิทยุ	18

## สารบัญ

	หน้า
2.4.1 ความถี่ใช้งาน	18
2.4.2 ระยะทำการ	19
2.4.3 ข้อกำหนดด้านการรักษาความปลอดภัย	19
2.4.4 ขนาดของหน่วยความจำ	19
2.5 เทคโนโลยีระบบระบุลักษณะทางคลื่นวิทยุที่ใช้การสื่อสารแบบ Inductive Coupling	20
2.5.1 การส่งพลังงานจากเครื่องอ่านข้อมูลไปยังแท็ก	20
2.5.2 การส่งข้อมูลจากแท็กมาอ่านโดยเครื่องอ่านข้อมูล	21
2.6 ทฤษฎีพื้นฐานสำหรับการออกแบบสายอากาศคลื่นวิทยุ	22
2.6.1 การเห็นใจว่ามีแรงดันในสายอากาศคลื่น	25
2.6.2 ชนิดและความต้านทานที่สูญเสียของคลื่น	30
2.6.3 ค่าความเหนี่ยวแน่นของสายอากาศคลื่น	33
2.7 รูปแบบของสายอากาศคลื่น	36
2.7.1 สายอากาศคลื่นของแท็ก	36
2.7.2 สายอากาศคลื่นของเครื่องอ่านข้อมูล	37
2.8 วงจรเรโซแนนซ์ค่าตัวประกอนเชิงคุณภาพ (Q) และแบบค์วิดซ์	38
2.8.1 วงจรเรโซแนนซ์แบบขนาน	38
2.8.2 วงจรเรโซแนนซ์แบบอนุกรม	40
2.8.3 ค่าตัวประกอนเชิงคุณภาพและแบบค์วิดซ์	42
2.9 ระยะการอ่านของอุปกรณ์ระบบระบุลักษณะทางคลื่นวิทยุ	46
2.10 หลักการและตัวอย่างการออกแบบวงจรแมตชิ่งสำหรับสายอากาศบ่วงเกลียว [8]	47
2.10.1 การวัดค่าเพื่อคุณสมบัติของสายอากาศ	48
2.10.2 การปรับอัมพีเดนซ์ของสายอากาศด้วยวงจรแมตชิ่ง	49
2.11 บทสรุป	51

## สารบัญ

	หน้า
<b>บทที่ 3 การออกแบบเครื่องอ่านข้อมูลและสายอากาศ</b>	52
<b>3.1 บทนำ</b>	52
3.2 การออกแบบเครื่องอ่าน RFID ในย่านความถี่ HF	52
3.3 การออกแบบโครงสร้างสายอากาศ	57
3.4 การจำลองสายอากาศ	57
3.5 การหาค่าพารามิเตอร์ที่เหมาะสมของสายอากาศ	63
3.6 ผลการจำลองค่าเบอร์เซ็นต์เชิงพื้นผิวของสายอากาศ	65
3.7 บทสรุป	66
<b>บทที่ 4 การทดสอบและการทดสอบ</b>	68
<b>4.1 บทนำ</b>	68
4.2 เครื่องมืออุปกรณ์ที่ใช้ในการทดสอบ	68
4.3 การทดสอบสายอากาศ	69
4.3.1 ผลการทดสอบสายอากาศกับแท็ก ISO15693	72
4.4 บทสรุป	74
<b>บทที่ 5 การประเมินผลและตัวอย่างการประยุกต์ใช้กับตู้วางของอัจฉริยะ</b>	75
<b>5.1 บทนำ</b>	75
5.2 เครื่องมืออุปกรณ์ที่ใช้ในการประเมินผล	75
5.3 การประเมินผลสายอากาศ	75
5.3.1 ผลการประเมินสายอากาศ	78
5.4 สรุป	80
<b>บทที่ 6 สรุปผลการวิจัยและข้อเสนอแนะ</b>	81
6.1 สรุปเนื้อหาโดยรวม	81
6.2 ข้อเสนอแนะและแนวทางในการพัฒนา	82
6.2.1 ข้อเสนอแนะ	82
6.2.2 แนวทางในการพัฒนา	83

บรรณานุกรม/เอกสารอ้างอิง	84
ประวัตินักวิจัย	85

## สารบัญตาราง

ตารางที่

หน้า

ตารางที่ 2.1 ค่าพารามิเตอร์ของคลาด.....	31
ตารางที่ 3.1 ค่าเบอร์เซ็นต์เชิงพื้นผิวของสายอากาศในแต่ละแบบ .....	65
ตารางที่ 3.2 ค่าเบอร์เซ็นต์เชิงพื้นผิวของสายอากาศที่มี $\rho$ เท่ากับ 5 cm ที่แนวแกน $y = 2$ ถึง 20 cm.	66
ตารางที่ 5.1 ตารางแสดงการอ่านแท็กจำนวน 25 แท็กที่ระยะทางทดสอบตั้งแต่ 0-20 cm.....	80

## สารบัญภาพ

ภาพที่	หน้า
รูปที่ 1.1 ลักษณะการสื่อสารข้อมูลระหว่างสายอากาศของเครื่องอ่านข้อมูลกับแท็ก [1].....	2
รูปที่ 1.2 สายอากาศบ่วงสีเหลี่ยมผืนผ้า.....	3
รูปที่ 1.3 สายอากาศบ่วงสีเหลี่ยมจัตุรัส.....	4
รูปที่ 1.4 สายอากาศบ่วงสีเหลี่ยมจัตุรัสแบบชุดเกลียว.....	5
รูปที่ 2.1 แท็กของระบุลักษณะทางคลื่นวิทยุแบบพาสซีฟ.....	9
รูปที่ 2.2 แท็กของระบุลักษณะทางคลื่นวิทยุแบบแอคทีฟ.....	10
รูปที่ 2.3 แท็กแบบงานและเหรียญ.....	10
รูปที่ 2.4 แท็กแบบกระปาแก้ว.....	11
รูปที่ 2.5 แท็กแบบพลาสติก.....	11
รูปที่ 2.6 แท็กสำหรับใช้เฉพาะกิจ.....	12
รูปที่ 2.7 แท็กแบบพวงกุญแจ.....	12
รูปที่ 2.8 แท็กแบบนาฬิกา.....	13
รูปที่ 2.9 แท็กมาตรฐาน ID-1 และ สมาร์ทการ์ดแบบไร้การสัมผัส.....	13
รูปที่ 2.10 แท็กแบบ Smart Label .....	14
รูปที่ 2.11 ส่วนประกอบของเครื่องอ่าน [1] .....	15
รูปที่ 2.12 ความแตกต่างของการสื่อสารแบบ Full Duplex และ Half Duplex [1] .....	16
รูปที่ 2.13 การเหนี่ยวนำ姓名แม่เหล็กระหว่างเครื่องอ่านข้อมูลกับแท็กเป็นการรับพลังงานไฟ.....	20
รูปที่ 2.14 การคำนวณของความหนาแน่นเส้นแรงแม่เหล็ก B ที่จุดสังเกต P โดยการป้อน .....	24
รูปที่ 2.15 การคำนวณความหนาแน่นเส้นแรงแม่เหล็ก B ที่จุดสังเกต P โดยการป้อนกระแส (I)....	25
รูปที่ 2.16 การลดลงของค่าความหนาแน่นเส้นแรงแม่เหล็ก B กับระยะห่าง r [3] .....	25
รูปที่ 2.17 พื้นฐานโครงสร้างของสายอากาศเครื่องอ่านข้อมูลและสายอากาศแท็กในระบบระบุลักษณะทางคลื่นวิทยุ [3].....	26
รูปที่ 2.18 การปรับทิศทางของสายอากาศของแท็กให้เหมาะสม [3] .....	28
รูปที่ 2.19 ความสัมพันธ์ระหว่างกระแส-รอบกับระยะการอ่าน [3] .....	29
รูปที่ 2.20 รูปของคลาวด์ 1 ชั้น [3] .....	34
รูปที่ 2.21 สายอากาศคลาวด์บ่วงวงกลมแทนอากาศจำนวนรอบได ๆ [3] .....	35

## สารบัญภาพ

ภาพที่	หน้า
รูปที่ 2.22 สายอากาศด้วยแบบบ่วงสีเหลี่ยมจัตุรัสหลายชั้น [3] .....	36
รูปที่ 2.23 รูปแบบต่าง ๆ ของสายอากาศด้วยของแท็ก [3] .....	36
รูปที่ 2.24 สายอากาศบ่วงหม้อเปล่งของเครื่องอ่านข้อมูล [3] .....	37
รูปที่ 2.25 แสดงวงจรเรโซแนนซ์แบบขนาด [3] .....	39
รูปที่ 2.26 แสดงวงจรเรโซแนนซ์อนุกรม [3] .....	41
รูปที่ 2.27 ค่าตัวประกอบเชิงคุณภาพ .....	43
รูปที่ 2.28 การหาค่าตัวประกอบเชิงคุณภาพจากแบบดิจิต์ .....	43
รูปที่ 2.29 ค่าแรงดันกับค่าความถี่สำหรับวงจรเรโซแนนซ์ [3] .....	43
รูปที่ 2.30 ผลตอบสนองทางความถี่สำหรับวงจรเรโซแนนซ์ [3] .....	45
รูปที่ 2.31 ระยะการอ่านกับขนาดของแท็กสำหรับการประยุกต์ที่ระยะใกล้ [3] .....	46
รูปที่ 2.32 ระยะการอ่านกับขนาดของแท็กสำหรับการประยุกต์ที่ระยะไกล [3] .....	47
รูปที่ 2.33 แสดงการนำงจรแมตช์มาต่อเข้ากับสายอากาศ .....	48
รูปที่ 2.34 แสดงคุณสมบัติและค่าอิมพีเดนซ์ของสายอากาศด้วย Smith Chart .....	49
รูปที่ 2.35 แสดงการจำลองการปรับค่าอิมพีเดนซ์ของสายอากาศด้วย Smith Chart .....	51
รูปที่ 3.1 ลักษณะของชิป IC เบอร์ TRF7690/91 .....	53
รูปที่ 3.2 วงจรแบบสกีมเมติก (Schematic Diagram) ของเครื่องอ่านข้อมูล RFID .....	54
รูปที่ 3.3 วงจรส่วนสายอากาศแบบบ่วง .....	55
รูปที่ 3.4 ลักษณะการติดตั้งระบบ RFID เข้ากับตู้เก็บของ .....	56
รูปที่ 3.5 ส่วนการแสดงผลของระบบตู้เก็บของอัจฉริยะ .....	56
รูปที่ 3.6 โครงสร้างสายอากาศบ่วงสีเหลี่ยมจัตุรัสแบบด้วยเกลียว .....	57
รูปที่ 3.7 โครงสร้างการจำลองแบบรูปการกระจายความเข้มสนามแม่เหล็ก .....	58
รูปที่ 3.8 ผลการจำลองแบบรูปการกระจายสนามแม่เหล็กของสายอากาศแบบบ่วงสีเหลี่ยม .....	59
รูปที่ 3.9 ผลการจำลองแบบรูปการกระจายสนามแม่เหล็กของสายอากาศบ่วงสีเหลี่ยมจัตุรัสแบบด้วยเกลียวที่ ขาดให้เกลียวทับกันจำนวน 3 ชด .....	59

## สารบัญภาพ

ภาพที่	หน้า
รูปที่ 3.10 ผลการจำลองแบบรูปการกระจายสนามแม่เหล็กของสายอากาศบ่วงสีเหลี่ยมจัตุรัสแบบขดเกลียวที่มี d เท่ากับ 0.5 cm.....	59
รูปที่ 3.11 ผลการจำลองแบบรูปการกระจายสนามแม่เหล็กของสายอากาศบ่วงสีเหลี่ยมจัตุรัสแบบขดเกลียวที่มี d เท่ากับ 1 cm.....	60
รูปที่ 3.12 ผลการจำลองแบบรูปการกระจายสนามแม่เหล็กของสายอากาศบ่วงสีเหลี่ยมจัตุรัสแบบขดเกลียวที่มี d เท่ากับ 1.5 cm.....	60
รูปที่ 3.13 ผลการจำลองแบบรูปการกระจายสนามแม่เหล็กของสายอากาศบ่วงสีเหลี่ยมจัตุรัสแบบขดเกลียวที่มี d เท่ากับ 2 cm.....	60
รูปที่ 3.14 ผลการจำลองแบบรูปการกระจายสนามแม่เหล็กของสายอากาศบ่วงสีเหลี่ยมจัตุรัสแบบขดเกลียวที่มี d เท่ากับ 2.5 cm.....	61
รูปที่ 3.15 ผลการจำลองแบบรูปการกระจายสนามแม่เหล็กของสายอากาศบ่วงสีเหลี่ยมจัตุรัสแบบขดเกลียวที่มี d เท่ากับ 3 cm.....	61
รูปที่ 3.16 ผลการจำลองแบบรูปการกระจายสนามแม่เหล็กของสายอากาศบ่วงสีเหลี่ยมจัตุรัสแบบขดเกลียวที่มี d เท่ากับ 3.5 cm.....	61
รูปที่ 3.17 ผลการจำลองแบบรูปการกระจายสนามแม่เหล็กของสายอากาศบ่วงสีเหลี่ยมจัตุรัสแบบขดเกลียวที่มี d เท่ากับ 4 cm.....	62
รูปที่ 3.18 ผลการจำลองแบบรูปการกระจายสนามแม่เหล็กของสายอากาศบ่วงสีเหลี่ยมจัตุรัสแบบขดเกลียวที่มี d เท่ากับ 4.5 cm.....	62
รูปที่ 3.19 ผลการจำลองแบบรูปการกระจายสนามแม่เหล็กของสายอากาศบ่วงสีเหลี่ยมจัตุรัสแบบขดเกลียวที่มี d เท่ากับ 5 cm.....	62
รูปที่ 3.20 การแบ่งระยะตามแนว x และ z ออกเป็นส่วนย่อย .....	64
รูปที่ 3.21 การพิจารณาหาค่าเบอร์เซ็นต์เชิงปริมาตร.....	64
รูปที่ 4.1 เครื่องอ่านข้อมูล RFID ความถี่ 13.56MHz .....	68
รูปที่ 4.2 สายนำสัญญาณ .....	69
รูปที่ 4.3 ชนิดของแท็กที่ใช้ในการทดสอบ (ISO15693) .....	69

## สารบัญภาพ

ภาพที่

หน้า

รูปที่ 4.4 ลักษณะการวางตัวของแท็กชนิด ISO-Card ในทิศทาง x y และ z.....	70
รูปที่ 4.5 บล็อกไดอะแกรมในการทดสอบสายอากาศ.....	71
รูปที่ 4.6 สายอากาศต้นแบบ .....	71
รูปที่ 4.7 ค่า S11 ของสายอากาศที่มีค่าเท่ากับ -25.47 dB .....	72
รูปที่ 4.8 ความสามารถในการติดต่อสื่อสารกับแท็กที่ระยะทดสอบห่างจากสายอากาศเท่ากับ 4 cm	72
รูปที่ 4.9 ความสามารถในการติดต่อสื่อสารกับแท็กที่ระยะทดสอบห่างจากสายอากาศเท่ากับ 8 cm	73
รูปที่ 4.10 ความสามารถในการติดต่อสื่อสารกับแท็กที่ระยะทดสอบห่างจากสายอากาศเท่ากับ 12 cm	73
รูปที่ 4.11 ความสามารถในการติดต่อสื่อสารกับแท็กที่ระยะทดสอบห่างจากสายอากาศเท่ากับ 16 cm	73
รูปที่ 4.12 ความสามารถในการติดต่อสื่อสารกับแท็กที่ระยะทดสอบห่างจากสายอากาศเท่ากับ 20 cm	74
รูปที่ 5.1 บล็อกไดอะแกรมในการประเมินผลสายอากาศ.....	76
รูปที่ 5.2 รูปในการประเมินผลสายอากาศ .....	77
รูปที่ 5.3 รูปด้วยการอ่านแท็กของสายอากาศเมื่อเชื่อมต่อ กับคอมพิวเตอร์ .....	77
รูปที่ 5.4 ความสามารถในการติดต่อสื่อสารกับแท็กจำนวน 25 แท็ก ที่ระยะทดสอบห่างจากสายอากาศเท่ากับ 0 cm .....	78
รูปที่ 5.5 ความสามารถในการติดต่อสื่อสารกับแท็กจำนวน 25 แท็ก ที่ระยะทดสอบห่างจากสายอากาศเท่ากับ 4 cm .....	78
รูปที่ 5.6 ความสามารถในการติดต่อสื่อสารกับแท็กจำนวน 25 แท็ก ที่ระยะทดสอบห่างจากสายอากาศเท่ากับ 8 cm .....	78
รูปที่ 5.7 ความสามารถในการติดต่อสื่อสารกับแท็กจำนวน 25 แท็ก ที่ระยะทดสอบห่างจากสายอากาศเท่ากับ 12 cm .....	79
รูปที่ 5.8 ความสามารถในการติดต่อสื่อสารกับแท็กจำนวน 25 แท็ก ที่ระยะทดสอบห่างจากสายอากาศเท่ากับ 16 cm .....	79
รูปที่ 5.9 ความสามารถในการติดต่อสื่อสารกับแท็กจำนวน 25 แท็ก ที่ระยะทดสอบห่างจากสายอากาศเท่ากับ 20 cm .....	79

## สารบัญภาพ

ภาพที่	หน้า
รูปที่ 1.1 ลักษณะการสื่อสารข้อมูลระหว่างสายอากาศของเครื่องอ่านข้อมูลกับแท็ก [1].....	2
รูปที่ 1.2 สายอากาศบ่วงสีเหลี่ยมผืนผ้า.....	3
รูปที่ 1.3 สายอากาศบ่วงสีเหลี่ยมจัตุรัส.....	4
รูปที่ 1.4 สายอากาศบ่วงสีเหลี่ยมจัตุรัสแบบขาดเกลี้ยง.....	5
รูปที่ 2.1 แท็กของระบบลักษณะทางคลื่นวิทยุแบบพาสซีฟ.....	9
รูปที่ 2.2 แท็กของระบบลักษณะทางคลื่นวิทยุแบบເອັກທີ່ພ.....	10
รูปที่ 2.3 แท็กแบบຈານແລະເຮືອຍ.....	10
รูปที่ 2.4 แท็กແບບກະປະເປົດແກ້.....	11
รูปที่ 2.5 แท็กແບບພລາສຕິກ.....	11
รูปที่ 2.6 แท็กສໍາຫັນໃຫ້ເພາະກິຈ.....	12
รูปที่ 2.7 แท็กແບບພວງຄຸມແຈ.....	12
รูปที่ 2.8 แท็กແບບນາພິກາ.....	13
รูปที่ 2.9 แท็กມາตรฐาน ID-1 ແລະ ສມາර්ථකເດືອນແບບໄຟກາສັນຜົສ.....	13
รูปที่ 2.10 แท็กແບບ Smart Label .....	14
รูปที่ 2.11 ສ່ານປະກອບຂອງເຄື່ອງອ່ານ [1] .....	15
รูปที่ 2.12 ຄວາມແຕກຕ່າງຂອງການສื่อสารແບບ Full Duplex ແລະ Half Duplex [1] .....	16
รูปที่ 2.13 ກາຣເໜີ່ຍານໍາສານາມແມ່ເໜີ່ກະຫວ່າງເຄື່ອງອ່ານຂໍ້ມູນກັນແທກເປັນກາຣັບພລັງຈານໄຟ.....	20
รูปที่ 2.14 ກາຣຄຳນວັນຂອງກວາມໜານແນ່ນເສັ້ນແຮງແມ່ເໜີ່ກ ທີ່ຈຸດສັງເກດ P ໂດຍກາຣປ້ອນ .....	24
รูปที่ 2.15 ກາຣຄຳນວັນກວາມໜານແນ່ນເສັ້ນແຮງແມ່ເໜີ່ກ B ທີ່ຈຸດສັງເກດ P ໂດຍກາຣປ້ອນກະແສ (I).....	25
รูปที่ 2.16 ກາຣຄຳນວັນຂອງກວາມໜານແນ່ນເສັ້ນແຮງແມ່ເໜີ່ກ B ກັບຮະບະຫ່າງ r [3] .....	25
รูปที่ 2.17 ພຶ້ນຈູານໂຄຮງສ້າງຂອງสายอากาศເຄື່ອງອ່ານຂໍ້ມູນແລະ สายอากาศແທກໃນຮະບນຮະບຸລັກມະຫາງ ຄຸນວິທີ [3].....	26
รูปที่ 2.18 ກາຣປັບທິສາທາງຂອງสายอากาศຂອງແທກໃໝ່ເໜີ່ມາສມ [3] .....	28
รูปที่ 2.19 ຄວາມສັນພັນຮ່ວງກະແສ-ຮອນກັບຮະບະກາຮອ່ານ [3] .....	29
รูปที่ 2.20 ຮູບຂອງຊດລວດ 1 ຫັ້ນ [3] .....	34
รูปที่ 2.21 ສ່າຍອາກາສີດລວດບ່ວງຈົງກລມແກນອາກາສີຈຳນວນຮອບໄດ້ 1 [3] .....	35

## สารบัญภาพ

**ภาพที่**

**หน้า**

รูปที่ 2.22 สายอากาศดัดลวดแบบบ่วงสีเหลี่ยมจัตุรัสหลายชั้น [3] .....	36
รูปที่ 2.23 รูปแบบต่าง ๆ ของสายอากาศดัดลวดของแท็ก [3] .....	36
รูปที่ 2.24 สายอากาศบ่วงหม้อแปลงของเครื่องอ่านข้อมูล [3] .....	37
รูปที่ 2.25 แสดงวงจรเรซิโซแนนซ์แบบขนาน [3] .....	39
รูปที่ 2.26 แสดงวงจรเรซิโซแนนซ์อนุกรม [3] .....	41
รูปที่ 2.27 ค่าตัวประกอบเชิงคุณภาพ .....	43
รูปที่ 2.28 การหาค่าตัวประกอบเชิงคุณภาพจากแบบดิจิติก .....	43
รูปที่ 2.29 ค่าแรงดันกับค่าความถี่สำหรับวงจรเรซิโซแนนซ์ [3] .....	43
รูปที่ 2.30 ผลตอบสนองทางความถี่สำหรับวงจรเรซิโซแนนซ์ [3] .....	45
รูปที่ 2.31 ระยะการอ่านกับขนาดของแท็กสำหรับการประยุกต์ที่ระบบไกล [3] .....	46
รูปที่ 2.32 ระยะการอ่านกับขนาดของแท็กสำหรับการประยุกต์ที่ระบบไกล [3] .....	47
รูปที่ 2.33 แสดงการนำวงจรแมตช์มาต่อเข้ากับสายอากาศ .....	48
รูปที่ 2.34 แสดงคุณสมบัติและค่าอิมพีเดนซ์ของสายอากาศด้วย Smith Chart .....	49
รูปที่ 2.35 แสดงการจำลองการปรับค่าอิมพีเดนซ์ของสายอากาศด้วย Smith Chart .....	51
รูปที่ 3.1 ลักษณะของชิป IC เบอร์ TRF7690/91 .....	53
รูปที่ 3.2 วงจรแบบสเก็มเมติก (Schematic Diagram) ของเครื่องอ่านข้อมูล RFID .....	54
รูปที่ 3.3 วงจรส่วนสายอากาศแบบบ่วง .....	55
รูปที่ 3.4 ลักษณะการติดตั้งระบบ RFID เข้ากับตู้เก็บของ .....	56
รูปที่ 3.5 ส่วนการแสดงผลของระบบตู้เก็บของอัจฉริยะ .....	56
รูปที่ 3.6 โครงสร้างสายอากาศบ่วงสีเหลี่ยมจัตุรัสแบบขาดเกลียว .....	57
รูปที่ 3.7 โครงสร้างการจำลองแบบรูปการกระจายความเข้มสนามแม่เหล็ก .....	58
รูปที่ 3.8 ผลการจำลองแบบรูปการกระจายสนามแม่เหล็กของสายอากาศแบบบ่วงสีเหลี่ยม .....	59
รูปที่ 3.9 ผลการจำลองแบบรูปการกระจายสนามแม่เหล็กของสายอากาศบ่วงสีเหลี่ยมจัตุรัสแบบขาดเกลียวที่ ขาดให้เกลียวทับกันจำนวน 3 ชด .....	59

## สารบัญภาพ

**ภาพที่**

**หน้า**

รูปที่ 3.10 ผลการจำลองแบบรูปการกระจายสนามแม่เหล็กของสายอากาศบ่วงสี่เหลี่ยมจัตุรัสแบบขดเกลียวที่มี d เท่ากับ 0.5 cm.....	59
รูปที่ 3.11 ผลการจำลองแบบรูปการกระจายสนามแม่เหล็กของสายอากาศบ่วงสี่เหลี่ยมจัตุรัสแบบขดเกลียวที่มี d เท่ากับ 1 cm.....	60
รูปที่ 3.12 ผลการจำลองแบบรูปการกระจายสนามแม่เหล็กของสายอากาศบ่วงสี่เหลี่ยมจัตุรัสแบบขดเกลียวที่มี d เท่ากับ 1.5 cm.....	60
รูปที่ 3.13 ผลการจำลองแบบรูปการกระจายสนามแม่เหล็กของสายอากาศบ่วงสี่เหลี่ยมจัตุรัสแบบขดเกลียวที่มี d เท่ากับ 2 cm.....	60
รูปที่ 3.14 ผลการจำลองแบบรูปการกระจายสนามแม่เหล็กของสายอากาศบ่วงสี่เหลี่ยมจัตุรัสแบบขดเกลียวที่มี d เท่ากับ 2.5 cm.....	61
รูปที่ 3.15 ผลการจำลองแบบรูปการกระจายสนามแม่เหล็กของสายอากาศบ่วงสี่เหลี่ยมจัตุรัสแบบขดเกลียวที่มี d เท่ากับ 3 cm.....	61
รูปที่ 3.16 ผลการจำลองแบบรูปการกระจายสนามแม่เหล็กของสายอากาศบ่วงสี่เหลี่ยมจัตุรัสแบบขดเกลียวที่มี d เท่ากับ 3.5 cm.....	61
รูปที่ 3.17 ผลการจำลองแบบรูปการกระจายสนามแม่เหล็กของสายอากาศบ่วงสี่เหลี่ยมจัตุรัสแบบขดเกลียวที่มี d เท่ากับ 4 cm.....	62
รูปที่ 3.18 ผลการจำลองแบบรูปการกระจายสนามแม่เหล็กของสายอากาศบ่วงสี่เหลี่ยมจัตุรัสแบบขดเกลียวที่มี d เท่ากับ 4.5 cm.....	62
รูปที่ 3.19 ผลการจำลองแบบรูปการกระจายสนามแม่เหล็กของสายอากาศบ่วงสี่เหลี่ยมจัตุรัสแบบขดเกลียวที่มี d เท่ากับ 5 cm.....	62
รูปที่ 3.20 การแบ่งระยะตามแนว x และ z ออกเป็นส่วนย่อย .....	64
รูปที่ 3.21 การพิจารณาหาค่าเบอร์เซ็นต์เชิงปริมาตร.....	64
รูปที่ 4.1 เครื่องอ่านข้อมูล RFID ความถี่ 13.56MHz .....	68
รูปที่ 4.2 สายนำสัญญาณ .....	69
รูปที่ 4.3 ชนิดของแท็กที่ใช้ในการทดสอบ (ISO15693) .....	69

## สารบัญภาพ

ภาพที่	หน้า
รูปที่ 4.4 ลักษณะการวางตัวของแท็กชนิด ISO-Card ในพิศทาง x y และ z.....	70
รูปที่ 4.5 บล็อกไ/doagegramในการทดสอบสายอากาศ.....	71
รูปที่ 4.6 สายอากาศต้นแบบ .....	71
รูปที่ 4.7 ค่า S11 ของสายอากาศที่มีค่าเท่ากับ -25.47 dB .....	72
รูปที่ 4.8 ความสามารถในการติดต่อสื่อสารกับแท็กที่距離นابทดสอบห่างจากสายอากาศเท่ากับ 4 cm .....	72
รูปที่ 4.9 ความสามารถในการติดต่อสื่อสารกับแท็กที่distanceทดสอบห่างจากสายอากาศเท่ากับ 8 cm .....	73
รูปที่ 4.10 ความสามารถในการติดต่อสื่อสารกับแท็กที่distanceทดสอบห่างจากสายอากาศเท่ากับ 12 cm .....	73
รูปที่ 4.11 ความสามารถในการติดต่อสื่อสารกับแท็กที่distanceทดสอบห่างจากสายอากาศเท่ากับ 16 cm .....	73
รูปที่ 4.12 ความสามารถในการติดต่อสื่อสารกับแท็กที่distanceทดสอบห่างจากสายอากาศเท่ากับ 20 cm .....	74
รูปที่ 5.1 บล็อกไ/doagegramในการประเมินผลสายอากาศ .....	76
รูปที่ 5.2 รูปในการประเมินผลสายอากาศ .....	77
รูปที่ 5.3 รูปตัวอย่างการอ่านแท็กของสายอากาศเมื่อเชื่อมต่อกับคอมพิวเตอร์ .....	77
รูปที่ 5.4 ความสามารถในการติดต่อสื่อสารกับแท็กจำนวน 25 แท็ก ที่distanceทดสอบห่างจากสายอากาศเท่ากับ 0 cm .....	78
รูปที่ 5.5 ความสามารถในการติดต่อสื่อสารกับแท็กจำนวน 25 แท็ก ที่distanceทดสอบห่างจากสายอากาศเท่ากับ 4 cm .....	78
รูปที่ 5.6 ความสามารถในการติดต่อสื่อสารกับแท็กจำนวน 25 แท็ก ที่distanceทดสอบห่างจากสายอากาศเท่ากับ 8 cm .....	78
รูปที่ 5.7 ความสามารถในการติดต่อสื่อสารกับแท็กจำนวน 25 แท็ก ที่distanceทดสอบห่างจากสายอากาศเท่ากับ 12 cm .....	79
รูปที่ 5.8 ความสามารถในการติดต่อสื่อสารกับแท็กจำนวน 25 แท็ก ที่distanceทดสอบห่างจากสายอากาศเท่ากับ 16 cm .....	79
รูปที่ 5.9 ความสามารถในการติดต่อสื่อสารกับแท็กจำนวน 25 แท็ก ที่distanceทดสอบห่างจากสายอากาศเท่ากับ 20 cm .....	79